

# Elecsys AMH Plus

**cobas®**

| REF         | ICON        | SUMMARY | SYSTEM   |
|-------------|-------------|---------|--|
| 08818061190 | 08818061500 | 100     | <b>cobas e 411</b><br><b>cobas e 601</b><br><b>cobas e 602</b> |

## Ελληνικά

### Πληροφορίες συστήματος

Για τον αναλυτή **cobas e 411**: αριθμός εξέτασης 1590

Για τους αναλυτές **cobas e 601** και **cobas e 602**: Κωδικός αριθμός εφαρμογής 472

### Σημειώσων

Τα αποτέλεσματα που πρόκειται να χρησιμοποιηθούν για τη δοσολογία της θυλακιοτροπίνης δέλτα της Ferring πρέπει να συνοδεύονται από την παρακάτω δήλωση:

Αυτή η τιμή AMH σε pmol/L προέκυψε από την ανάλυση Elecsys AMH Plus και είναι κατόλληγη για την εξατομικευμένη δοσολογία της θυλακιοτροπίνης δέλτα της Ferring.

### Προοριζόμενη χρήση

Ανοσοολογική μέθοδος για τον *in vitro* ποσοτικό προσδιορισμό της αντι-μυλλέριου ορμόνης (AMH) σε ορό και πλάσμα ανθρώπου. Ο προσδιορισμός της AMH χρησιμοποιείται για την αξιολόγηση του αποθέματος ωριών και την πρόβλεψη της ανταπόκρισης σε ελεγχόμενη διέγερση των ωοθηκών (COS) σε συνδυασμό με άλλα κλινικά και εργαστηριακά ευρήματα.

Επιπλέον, ο προσδιορισμός της AMH (σε pmol/L) σε συνδυασμό με το σωματικό βάρος χρησιμοποιείται για την καθιέρωση της εξατομικευμένης ημερήσιας δόσης της ανθρώπινης ανασυνδυασμένης ωοθυλακιοτρόπου ορμόνης (rFSH), θυλακιοτροπίνης δέλτα της Ferring (σύμφωνα με τις τρέχουσες πληροφορίες συνταγογράφησης της θυλακιοτροπίνης δέλτα της Ferring) στην ελεγχόμενη διέγερση των ωοθηκών για την ανάπτυξη πολλαπλών θυλακίων σε γυναίκες που υποβάλλονται σε πρόγραμμα τεχνολογίας υποβοηθύμενης αναπαραγωγής.

Η ανοσοολογική μέθοδος ηλεκτροχρημειοφωταύγειας "ECLIA" (electrochemiluminescence immunoassay) προορίζεται για χρήση στους ανοσοολογικούς αναλυτές **cobas e**.

### Περιλήψη

Η αντι-μυλλέριος ορμόνη είναι μια ομοδιμερής γλυκοπρωτεΐνη που ανήκει στην οικογένεια του τροποποιητικού αιζητικού παράγοντα  $\beta$  (TGF  $\beta$ ). Όλα τα μέλη αυτής της υπεροικογένειας εμπλέκονται στην ρύθμιση της αύξησης και της διαφοροποίησης των ιστών. Πριν από την έκκριση, η ορμόνη υφίσταται γλυκοζυλίωση και διμερισμό, με αποτέλεσμα να παράγεται ένα πρόδρομο μόριο περίπου 140 kDa που αποτελείται από δύο πανομοιότυπες υπομονάδες των 70 kDa, συνδεδεμένες μεταξύ τους με δισουλφιδικούς δεσμούς. Κάθε μονομερές περιλαμβάνει μια μεγάλη ομινοτελική προπεριοχή και μια πολύ μικρότερη κορβοζυτελική ώριμη περιοχή. Αντίθετα με άλλη της οικογένειας TGF  $\beta$ , η AMH πιστεύεται ότι χρειάζεται την ομινοτελική περιοχή για την ενίσχυση της δραστικότητας της κορβοζυτελικής περιοχής, ώστε να επιτευχθεί η πλήρης βιολογική δραστικότητα.<sup>1,2</sup>

Ένα τιμήμα της AMH, στη συνέχεια, διαποτάται σε ένα συγκεκριμένο σημείο, μεταξύ της προπεριοχής και της ώριμης περιοχής, κατά τη διάρκεια της κυτταροπλασματικής μεταφοράς, ώστε να δημιουργηθούν το βιολογικά δραστικό ομινοτελικό τιμήμα των 110 kDa και τα κορβοζυτελικά ομοδιμερή των 25 kDa που παραμένουν ενωμένα σε ένα μη ομοιοπολικό σύμπλεγμα. Ο υποδιχέας AMH τύπου II (AMH RII) έχει την ικανότητα να δεσμεύει μόνο τη βιολογικά δραστική μορφή της AMH.<sup>2</sup>

Στους άνδρες, η AMH εκκρίνεται από τα κύτταρα Sertoli των όρχεων. Κατά τη διάρκεια της εμβρυϊκής ανάπτυξης στους άνδρες, η έκκριση AMH από τα κύτταρα Sertoli των όρχεων ευθύνεται για την υποστροφή του πόρου του Muller και τη φυσιολογική ανάπτυξη της ανδρικής αναπαραγωγικής οδού. Η έκκριση της AMH από τα κύτταρα Sertoli ζεκινά κατά τη διάρκεια της εμβρυογένεσης και συνεχίζεται σε όλη τη διάρκεια της ζωής. Η AMH παράγεται συνεχώς από τους όρχεις έως την εφηβεία και, στη συνέχεια, μειώνεται αργά στις μετεφοβικές τιμές της.<sup>3</sup>

Στις γυναίκες, η AMH διαδραματίζει σημαντικό ρόλο στην ωοθυλακιογένεση στις ωοθήκες.<sup>4</sup> Η ανάπτυξη ωοθυλακίων στις ωοθήκες περιλαμβάνει δύο διακριτά στάδια: την αρχική στρατολόγηση, μέσω της

οποίας τα άωρα ωοθυλάκια αρχίζουν να ωριμάζουν και την κυκλική στρατολόγηση, η οποία οδηγεί στην ανάπτυξη μιας ομάδας μικρών ωοθυλακίων με άντρο, μεταξύ των οποίων επιλέγεται στη συνέχεια το κυριαρχού ωοθυλάκιο (που προορίζεται για ωορρηξια). Η FSH (ωοθυλακιοτρόπος ορμόνη) ελέγχει την κυκλική στρατολόγηση. Η έκφραση της AMH στα κοκκιώδη κύτταρα ζεκινά στην προτογενή ωοθυλάκια και είναι μεγιστρική στα κοκκιώδη κύτταρα των ωοθυλακίων πριν από τον σχηματισμό του άντρου και των μικρών ωοθυλακίων με άντρο, διαμέτρου έως και 6 mm περίπου. Όταν η αύξηση του ωοθυλακίου γίνεται εξαρτώμενη από την FSH, η έκφραση της AMH ελαπτώνεται και η ορμόνη καθίσταται μη ανιχνεύσιμη. Αυτό το πρότυπο έκφρασης της AMH υποστηρίζει τον αναστατωτικό ρόλο της AMH στα δύο διακριτά στάδια της ωοθυλακιογένεσης. Γρώτον, η AMH αναστέλλει τη μετάβαση των ωοθυλακίων από το άωρο στο ωρίμο στάδιο και, συνεπώς, διαδραματίζει σημαντικό ρόλο στη ρύθμιση του αριθμού των ωοθυλακίων που απομένουν στη δεξαμενή των άωρων ωοθυλακίων. Δεύτερον, η AMH έχει αναστατωτικές επιδράσεις στην ευαισθησία των ωοθυλακίων στην FSH και, κατά συνέπεια, διαδραματίζει ρόλο στη διαδικασία επιλογής ωοθυλακίων.<sup>5,6</sup>

Τα επίπεδα της AMH στον ορό είναι ελάχιστα ανιχνεύσιμα κατά τη γέννηση στις γυναίκες, φθάνονταν στα μέγιστα επίπεδα τους μετά την εφηβεία, μειώνονται προσδευτικά με την ηλικία από εκεί και έπειτα και καθίστανται μη ανιχνεύσιμα στην εμημόνταση.<sup>7,8</sup> Τα επίπεδα της AMH στον ορό έχει καταδειχθεί ότι είναι σημαντικά σταθερά κατά τη διάρκεια του έμμηνου κύκλου, όμως σε νεότερες γυναίκες παρατηρούνται σημαντικές διακυμάνσεις.<sup>9,10,11</sup> Τα επίπεδα της AMH καταδεικνύουν περαιτέρω χαμηλότερη διακύμανση εντός του κύκλου και μεταξύ των κύκλων σε σύγκριση με την αρχική τιμή της FSH.<sup>10</sup> Τα επίπεδα της AMH στον ορό μειώνονται σημαντικά κατά τη διάρκεια της χρήσης αντιουλαπτικών συνδυασμών.<sup>12</sup> Έχουν προταθεί κλινικές εφαρμογές των μετρήσεων της AMH για διάφορες ενδείξεις.<sup>13,14,15</sup> Η μέτρηση της AMH στον ορό χρησιμοποιείται κλινικά κυρίως για την αξιολόγηση του αποθέματος ωριών, το οποίο αντανακλά τον οριθμό των ωοθυλακίων με άντρο και των ωοθυλακίων πριν από τον σχηματισμό του άντρου, δηλαδή τον επονομαζόμενο αριθμό ωοθυλακίων με άντρο (AFC), καθώς και για την πρόβλεψη της ανταπόκρισης σε ελεγχόμενη διέγερση των ωοθηκών.<sup>13,15,16</sup> Περαιτέρω κλινικές εφαρμογές της AMH είναι η διάγνωση των διαταραχών της ανάπτυξης του φύλου σε παιδιά<sup>17,18</sup> και η παρακολούθηση των όγκων εκ κοκκιώδων κυττάρων για την ανίχνευση υπολειμματικής ή υποτροπιάζουσας νόσου.<sup>19,20</sup> Η AMH έχει προταθεί ως αναπληρωματικός βιολογικός δείκτης για AFC στη διάγνωση του συνδρόμου πολυκυστικών ωοθηκών (PCOS)<sup>21,22</sup> και για την πρόβλεψη του χρόνου έως την εμημόνταση.<sup>23,24</sup>

### Αρχή της μεθόδου

Αρχή διπλής ανοσοοήμανσης ("σάντουιτς"). Συνολική διάρκεια της ανάλυσης: 18 λεπτά.

- 1η επώαση: 50 μL δειγμάτος, ένα βιοτινιλαμένο μονοκλωνικό ειδικό αντίσωμα έναντι της AMH και μονοκλωνικό ειδικό αντίσωμα έναντι της AMH σημασμένο με σύμπλοκο ρουθηνίου<sup>a)</sup> σχηματίζουν σύμπλοκο "σάντουιτς".
- 2η επώαση: Μετά την προσθήκη μικροσφαιριδίων επικαλυμμένων με στρεπταβίδινη, το σύμπλοκο δεσμεύεται στη στερεά φάση μέσω της αλληλεπίδρασης της βιοτίνης με τη στρεπταβίδινη.
- Το μίγμα αντιδρασης εισάγεται με αναρρόφηση στο θάλαμο μέτρησης, όπου τα μικροσφαιριδία δεσμεύονται μαγνητικά στην επιφάνεια του ηλεκτροβιόου. Οι μη δεσμευμένες ουσίες απομακρύνονται, κατόπιν, με ProCell/ProCell M. Η εφαρμογή τάσης στο ηλεκτρόδιο προκαλεί κατόπιν την εκπομπή χρημειοφωταύγειας, η οποία μετράται με φωτοολαπτασιοστή.
- Τα αποτελέσματα προσδιορίζονται από μια καμπύλη βαθμονόμησης, η οποία παράγεται ειδικά για κάθε αναλυτή, μέσω μιας διαδικασίας βαθμονόμησης 2 σημείων και μιας πρόστυπης καμπύλης που λαμβάνεται μέσω του γραμμικού κώδικα των αντιδραστηρίων ή του ηλεκτρονικού γραμμικού κώδικα.

a) Σύμπλοκο τρις(2,2'-διπυριδυλο)ρουθηνίου(II) (Ru(bpy)<sub>3</sub>)<sup>2+</sup>

# Elecys AMH Plus

## Αντιδραστήρια - διαλύματα εργασίας

Το σετ φορέων αντιδραστηρίων έχει σημανθεί ως AMHP.

- M Μικροσφαιρίδια επικαλυμμένα με στρεπταβιδίνη (διαφανές πώμα), 1 φιαλίδιο, 6.5 mL

Μικροσφαιρίδια επικαλυμμένα με στρεπταβιδίνη 0.72 mg/mL, συντρητικό.

- R1 Αντίσωμα έναντι της AMH-βιοτίνη (γκρι πώμα), 1 φιαλίδιο, 8 mL:

Βιοτινιλιωμένο μονοκλωνικό αντίσωμα (ποντικού) έναντι της AMH 1.0 mg/L, ρυθμιστικό διάλυμα φωσφορικών 50 mmol/L, pH 7.5, συντρητικό.

- R2 Αντίσωμα έναντι της AMH-Ru(bpy)<sub>3</sub><sup>2+</sup> (μαύρο πώμα), 1 φιαλίδιο, 8 mL:

Μονοκλωνικό αντίσωμα (ποντικού) έναντι της AMH σημασμένο με σύμπλοκο ρουθηνίου 1.0 mg/L, ρυθμιστικό διάλυμα φωσφορικών 50 mmol/L, pH 7.5, συντρητικό.

## Προφυλάξεις και προειδοποιήσεις

Για in vitro διαγνωστική χρήση.

Να τηρούνται οι συνήθεις προφυλάξεις οι οποίες απαιτούνται κατά τον χειρισμό δόλων των εργαστηριακών αντιδραστηρίων.

Η απόρριψη όλων των αποβλήτων θα πρέπει να πραγματοποιείται σύμφωνα με τις τοπικές κατευθυντήριες οδηγίες.

Διατίθεται, κατόπιν αιτήσεως, φύλλο δεδομένων ασφάλειας για επαγγελματίες χειριστές.

Το κιτ περιέχει συστατικά ταξινομημένα ως εξής σύμφωνα με την οδηγία (ΕΚ) αρ. 1272/2008:

Υδροχλωρική 2-μεθυλο-2Η-ισοθιαζολ-3-όνη

ΕUH 208 Μπορεί να προκαλέσει αλλεργική αντίδραση.

Η επισήμανση ασφάλειας του προϊόντος τηρεί τις οδηγίες GHS της Ε.Ε.

Αποφύγετε το σχηματισμό αφρού σε όλα τα αντιδραστήρια και τους τύπους δειγμάτων (δειγματα, βαθμονομητές και διαλύματα ελέγχου).

## Χειρισμός των αντιδραστηρίων

Τα αντιδραστήρια που περιέχονται στο κιτ αποτελούν μια έτοιμη προς χρήση μονάδα και δεν πρέπει να διαχωρίζονται.

Όλες οι πληροφορίες που απαιτούνται για τη σωστή χρήση καταχωρούνται μέσω του αντίστοιχου γραμμικού κώδικα των αντιδραστηρίων.

## Φύλαξη και σταθερότητα

Φυλάσσονται σε θερμοκρασία 2-8 °C.

Να μην καταψύχεται.

Το κιτ αντιδραστηρίων Elecsys πρέπει να φυλάσσεται σε όρθια θέση, ώστε να διασφαλίζεται η πλήρης διαθεσιμότητα των μικροσφαιρίδιων κατά την αυτόματη ανάμιξη πριν από τη χρήση.

| Σταθερότητα:                              |                                       |
|---|---------------------------------------|
| κλειστό, σε θερμοκρασία 2-8 °C            | έως την αναγραφόμενη ημερομηνία λήξης |
| μετά το άνοιγμα,<br>σε θερμοκρασία 2-8 °C | 12 εβδομάδες                          |
| στους αναλυτές                            | 8 εβδομάδες                           |

## Συλλογή δειγμάτος και προετοιμασία

Μόνο τα παρακάτω δειγματα αναλύθηκαν και βρέθηκαν αποδεκτά.

Ορός και πλάσμα με Li-ηπαρίνη, τα οποία συλλέγονται σε τυπικά σωληνάρια δειγματοληψίας ή σε σωληνάρια που περιέχουν γέλη διαχωρισμού.

Μη χρησιμοποιείτε πλάσμα με EDTA.

Κριτήριο: Ανάκτηση εντός του  $\pm 30\%$  της τιμής του ορού  $\geq 3.57 \text{ pmol/L}$  ( $\geq 0.5 \text{ ng/mL}$ ), ανάκτηση εντός  $\pm 1.43 \text{ pmol/L}$  ( $\pm 0.2 \text{ ng/mL}$ ) για την τιμή ορού  $< 3.57 \text{ pmol/L}$  ( $< 0.5 \text{ ng/mL}$ ) και κλίση 0.9-1.1 + συστηματικό σφάλμα στα  $7.14 \text{ pmol/L}$  ( $1 \text{ ng/mL}$ ) και  $25 \text{ pmol/L}$  ( $3.5 \text{ ng/mL}$ )  $\leq 10\% +$  συντελεστής συσχέτισης  $\geq 0.95$ .

Σταθερό επί 3 ημέρες σε θερμοκρασία 20-25 °C, επί 5 ημέρες στους 2-8 °C και επί 6 μήνες στους -20 °C ( $\pm 5 °C$ ). Να καταψύχεται μία φορά μόνο.

Οι αναφερόμενοι τύποι δειγμάτων αναλύθηκαν με χρήση των σωληναρίων δειγματοληψίας που ήταν διαθέσιμα στο εμπόριο τη στιγμή της ανάλυσης, δηλαδή δεν εξετάστηκαν όλα τα διαθέσιμα σωληνάρια όλων των κατασκευαστών. Τα συστήματα δειγματοληψίας των διαφόρων κατασκευαστών ενδέχεται να περιέχουν διαφορετικά υλικά που θα μπορούσαν να επηρεάσουν τα αποτελέσματα της ανάλυσης σε κάποιες περιπτώσεις. Όταν αναλύετε δειγματα σε πρωτογενή σωληνάρια (συστήματα δειγματοληψίας), να ακολουθείτε τις οδηγίες του κατασκευαστή των σωληναρίων.

Φυγοκεντρήστε τα δειγματα που περιέχουν ίζημα προτού εκτελέσετε την ανάλυση.

Μη χρησιμοποιείτε θερμο-αδρανοποιημένα δειγματα.

Μη χρησιμοποιείτε δειγματα ή διαλύματα ελέγχου που έχουν σταθεροποιηθεί με αζίδιο.

Βεβαιωθείτε ότι τα δειγματα, οι βαθμονομητές και τα διαλύματα ελέγχου βρίσκονται σε θερμοκρασία 20-25 °C πριν από τη μέτρηση.

Λόγω πιθανής εξάτμισης, τα δειγματα, οι βαθμονομητές και τα διαλύματα ελέγχου που βρίσκονται στον αναλυτή πρέπει να αναλύονται/μετρώνται εντός 2 ωρών.

## Παρεχόμενα υλικά

Για τα αντιδραστήρια, δείτε την ενότητα "Αντιδραστήρια - διαλύματα εργασίας".

## Απαιτούμενα υλικά που δεν παρέχονται

- [REF] 07957203190, CalSet AMH Plus, για 4 x 1.0 mL
- [REF] 07957211190, PreciControl AMH Plus, για 4 x 2.0 mL
- [REF] 05192943190, Diluent Universal 2, 2 x 36 mL αραιωτικό δειγμάτων ή [REF] 11732277122, Diluent Universal, 2 x 16 mL αραιωτικό δειγμάτων ή [REF] 03183971122, Diluent Universal, 2 x 36 mL αραιωτικό δειγμάτων
- Συνήθης εργαστηριακός εξοπλισμός
- Αναλυτής cobas e

Πρόσθετα υλικά για τον αναλυτή cobas e 411:

- [REF] 11662988122, ProCell, 6 x 380 mL ρυθμιστικό διάλυμα συστήματος
- [REF] 11662970122, CleanCell, 6 x 380 mL διάλυμα καθαρισμού θαλάμου μέτρησης
- [REF] 11930346122, Elecsys SysWash, 1 x 500 mL πρόσθετο νερού
- [REF] 11933159001, Adapter for SysClean
- [REF] 11706802001, AssayCup, 60 x 60 υποδοχείς αντιδρασης
- [REF] 11706799001, AssayTip, 30 x 120 ρύγχη δειγματοληψίας
- [REF] 11800507001, Clean-Liner

Πρόσθετα υλικά για τους αναλυτές cobas e 601 και cobas e 602:

- [REF] 04880340190, ProCell M, 2 x 2 L ρυθμιστικό διάλυμα συστήματος
  - [REF] 04880293190, CleanCell M, 2 x 2 L διάλυμα καθαρισμού θαλάμου μέτρησης
  - [REF] 03023141001, PC/CC-Cups, 12 υποδοχείς για την προθέρμανση των διαλυμάτων ProCell M και CleanCell M πριν από τη χρήση
  - [REF] 03005712190, ProbeWash M, 12 x 70 mL διάλυμα καθαρισμού για το τελικό στάδιο λειτουργίας και την έκπλυση κατά την αλλαγή αντιδραστηρίου
  - [REF] 03004899190, PreClean M, 5 x 600 mL διάλυμα καθαρισμού μονάδας ανίχνευσης
  - [REF] 12102137001, AssayTip/AssayCup, 48 θήκες x 84 υποδοχείς αντιδρασης ή ρύγχη δειγματοληψίας, σάκοι αποβλήτων
  - [REF] 03023150001, WasteLiner, σάκοι αποβλήτων
  - [REF] 03027651001, SysClean Adapter M
- Πρόσθετα υλικά για όλους τους αναλυτές:
- [REF] 11298500316, ISE Cleaning Solution/Elecsys SysClean, 5 x 100 mL διάλυμα καθαρισμού συστήματος

# Elecsys AMH Plus

## Ανάλυση

Για την καλύτερη δυνατή απόδοση της ανάλυσης, ακολουθήστε τις οδηγίες που παρέχονται σε αυτό το έντυπο και αφορούν τον αναλυτή που χρησιμοποιείτε. Ανατρέξτε στο αντίστοιχο εγχειρίδιο χρήσης για οδηγίες ανάλυσης ειδικές για τον συγκεκριμένο αναλυτή.

Η ομογενοποίηση του εναιωρήματος των μικροσφαιριδίων εκτελείται αυτόματα πριν από τη χρήση. Καταχωρίζεται τις ειδικές παραμέτρους της ανάλυσης μέσω του γραμμικού κώδικα των αντιδραστηρίων. Στη σπάνια περιπτώση κατά την οποία η ανάγνωση του γραμμικού κώδικα είναι αδύνατη, πληκτρολογήστε τον 15ψήφιο αριθμό.

Αναλυτές **cobas e 601** και **cobas e 602**: Είναι απαραίτητο το διάλυμα PreClean M.

Αφήστε τα ψυχρά αντιδραστήρια να φθάσουν σε θερμοκρασία 20 °C περίπου και τοποθετήστε τα στο δίσκο αντιδραστηρίων (20 °C) του αναλυτή. Αποφύγετε τον σχηματισμό αφρού. Το σύστημα ρυθμίζει αυτομάτως τη θερμοκρασία των αντιδραστηρίων και το άνοιγμα ή το κλείσιμο των φιαλιδίων.

## Βαθμονόμηση

Ιγνηλασιμότητα: Αυτή η μέθοδος έχει τυποποιηθεί έναντι της ανάλυσης Beckman Coulter AMH Gen II ELISA (μη τροποποιημένη έκδοση, χωρίς προαραίωση).

Κάθε σετ αντιδραστηρίων Elecsys διαθέτει μια ετικέτα με γραμμικό κώδικα, η οποία περιέχει τα στοιχεία της βαθμονόμησης της συγκεκριμένης παρτίδας αντιδραστηρίων. Η προκαθορισμένη πρότυπη καμπύλη προσαρμόζεται στον αναλυτή με χρήση του αντίστοιχου CalSet.

Συχνότητα βαθμονόμησης: Η βαθμονόμηση πρέπει να εκτελείται μία φορά για κάθε παρτίδα αντιδραστηρίων, με χρήση νέου αντιδραστηρίου (δηλαδή προτού πάρεται 24 ώρες από την καταχώρηση του κιτ αντιδραστηρίων στον αναλυτή).

Το διάστημα βαθμονόμησης μπορεί να παραταθεί με βάση αποδεκτή επαλήθευση της βαθμονόμησης από το εργαστήριο.

Η ανανέωση της βαθμονόμησης συνιστάται να γίνεται ως εξής:

- μετά από 1 μήνα (28 ημέρες) εφόσον χρησιμοποιείται η ίδια παρτίδα αντιδραστηρίων
- μετά από 7 ημέρες (εφόσον χρησιμοποιείται το ίδιο κιτ αντιδραστηρίων στον αναλυτή)
- όπως απαιτείται, εάν π.χ. τα ευρήματα της διαδικασίας ελέγχου ποιότητας βρίσκονται εκτός των καθορισμένων ορίων

## Έλεγχος ποιότητας

Για τον έλεγχο ποιότητας, χρησιμοποιήστε το PreciControl AMH Plus.

Επιπλέον κατάλληλο υλικό ελέγχου ποιότητας μπορεί επίσης να χρησιμοποιηθεί σε συνδυασμό με το PreciControl AMH Plus.

Οι αναλύσεις των διαλυμάτων ελέγχου, για τα διάφορα επίπεδα συγκέντρωσης, θα πρέπει να εκτελούνται ως μερονωμένοι προσδιορισμοί τουλάχιστον μία φορά κάθε 24 ώρες όταν χρησιμοποιείται το αντιδραστήριο, μία φορά για κάθε κιτ αντιδραστηρίων και μετά από κάθε βαθμονόμηση.

Πρέπει να δοθεί ιδιαίτερη προσοχή ώστε να διασφαλιστεί ότι η ακρίβεια και η επαναληψιμότητα της εξετάσης παραμένουν εντός των αποδεκτών ορίων. Εκτός από την τήρηση των αναμενόμενων ευρών τιμών του PreciControl AMH Plus που παρέχονται, ο χρήστης πρέπει να διασφαλίσει ότι η συστηματική μεροληψία δύον αφορά την καθορισμένη αναμενόμενη τιμή βρίσκεται εντός  $\pm 12\%$ , ο CV ενδιάμεσης επαναληψιμότητας είναι  $\leq 8\%$  και το μέγιστο συνολικό σφάλμα βρίσκεται εντός  $\pm 25\%$  ( $TE = \text{Ιμεροληψία} + 1.65^*\text{CV}$ ). Συνιστάται η χρήση λογισμικού κανόνα ελέγχου ποιότητας.

Τα διαστήματα ελέγχου και τα όρια πρέπει να προσαρμόζονται στις απαιτήσεις κάθε εργαστηρίου. Οι τιμές που λαμβάνονται θα πρέπει να βρίσκονται εντός των καθορισμένων ορίων. Κάθε εργαστήριο θα πρέπει να καθιερώσει μέτρα για διορθωτικές ενέργειες οι οποίες θα πρέπει να εφαρμόζονται εάν οι τιμές βρεθούν εκτός των καθορισμένων ορίων.

Εάν είναι απαραίτητο, επαναλάβετε τη μέτρηση των συγκεκριμένων δειγμάτων.

Ακολουθήστε τους ισχύοντες κρατικούς κανονισμούς και τις τοπικές κατευθυντήριες οδηγίες για τον έλεγχο ποιότητας.

## Υπολογισμός

Ο αναλυτής υπολογίζει αυτόματα τη συγκέντρωση της αναλυτής συσίδεσης σε κάθε δείγμα (είτε σε pmol/L είτε σε ng/mL).

Συντελεστές μετατροπής:

pmol/L x 0.14 = ng/mL

ng/mL x 7.14 = pmol/L

## Περιορισμοί και αλληλεπιδράσεις

Εξετάστηκε η επίδραση των παρακάτω ενδογενών ουσιών και φαρμακευτικών ενώσεων στην απόδοση της ανάλυσης. Οι αλληλεπιδράσεις εξετάστηκαν έως τις συγκεντρώσεις που παρατίθενται και δεν παρατηρήθηκε καμία επίδραση στα αποτελέσματα.

## Ενδογενείς ουσίες

| Ουσία        | Συγκέντρωση που ελέγχθηκε                              |
|--------------|--|
| Χολερυθρίνη  | $\leq 1129 \mu\text{mol/L}$ ή $\leq 66 \text{ mg/dL}$  |
| Αιμοσφαιρίνη | $\leq 0.621 \text{ mmol/L}$ ή $\leq 1.0 \text{ g/dL}$  |
| Intralipid   | $\leq 1000 \text{ mg/dL}$                              |
| Βιοτίνη      | $\leq 4912 \text{ nmol/L}$ ή $\leq 1200 \text{ ng/mL}$ |
| IgG          | $\leq 2.5 \text{ g/dL}$                                |
| IgA          | $\leq 1.8 \text{ g/dL}$                                |
| IgM          | $\leq 0.5 \text{ g/dL}$                                |

Κριτήριο: Απόκλιση  $\leq 10\%$ .

Δεν παρατηρήθηκε αλληλεπιδραση με ρευματοειδείς παράγοντες, σε συγκέντρωση έως και 1000 IU/mL.

Δεν παρατηρείται hook effect υψηλής δόσης, σε συγκεντρώσεις AMH έως και 9996 pmol/L (1400 ng/mL).

Πραγματοποιήθηκαν in vitro εξετάσεις σε 20 κοινά φαρμακευτικά προϊόντα. Δεν διαπιστώθηκε αλληλεπιδραση με την ανάλυση έως τις συγκεντρώσεις που υποδεικνύονται στον παρακάτω πίνακα.

| Δραστικός παράγοντας  | Συγκέντρωση που ελέγχθηκε<br>mg/L |
|-----------------------|-----------------------------------|
| Ακετυλοκυστεΐνη       | 1660                              |
| Νατριούχος αμπικιλίνη | 1000                              |
| Ασκορβικό οξύ         | 300                               |
| Κυκλοσπορίνη          | 5                                 |
| Κεφοξιπίνη            | 2500                              |
| Ηπαρίνη               | 5000 U                            |
| Λεβοντόπα             | 20                                |
| Μεθυλντόπα            | 20                                |
| Μετρονιδαζόλη         | 200                               |
| Φαινυλοβουταζόνη      | 400                               |
| Δοζυκυκλίνη           | 50                                |
| Ακετυλοσαλικυλικό οξύ | 1000                              |
| Ριφαμπικίνη           | 60                                |
| Ακεταμινοφαίνη        | 200                               |
| Ιβουπροφαίνη          | 500                               |
| Θεοφυλλίνη            | 100                               |
| Οξική τριπτορελίνη    | 0.1                               |
| Μετφορμίνη            | 2000                              |
| Φυλλικό οξύ           | 0.4                               |
| Λεβοθυροξίνη          | 0.2                               |

Σε οπάνιες περιπτώσεις, ενδέχεται να εμφανιστούν αλληλεπιδράσεις λόγω εξαιρετικά υψηλών τίτλων αντισωμάτων εναντί των αντισωμάτων που είνοι ειδικά για την αναλυτή ουσία, της στρεπταβιδίνης ή του ρουθηνίου. Οι επιδράσεις αυτές έχουν ελαχιστοποιηθεί μέσω κατάλληλου σχεδιασμού της ανάλυσης.

Για διαγνωστικούς σκοπούς, τα αποτελέσματα θα πρέπει πάντοτε να αξιολογούνται σε συνδυασμό με το ιατρικό ιστορικό, την κλινική εξέταση και άλλα ευρήματα του ασθενούς.

# Elecys AMH Plus

## Όρια και εύρη

0.07-164 pmol/L (0.01-23 ng/mL) (οριζόμενο από το όριο ανίχνευσης και το ανώτατο σημείο της πρότυπης καμπύλης). Οι τιμές που είναι χαμηλότερες από το όριο ανίχνευσης διδούνται ως < 0.07 pmol/L (< 0.01 ng/mL). Οι τιμές που είναι υψηλότερες από το εύρος μέτρησης διδούνται ως > 164 pmol/L (> 23 ng/mL) ή έως και 328 pmol/L (46 ng/mL) για δείγματα αραιωμένα κατά 2 φορές.

## Κατώτατα όρια μέτρησης

Όριο τυφλού, όριο ανίχνευσης και όριο ποσοτικοποίησης

Όριο τυφλού = 0.049 pmol/L (0.007 ng/mL)

Όριο ανίχνευσης = 0.07 pmol/L (0.01 ng/mL)

Όριο ποσοτικοποίησης = 0.214 pmol/L (0.030 ng/mL)

Το όριο τυφλού, το όριο ανίχνευσης και το όριο ποσοτικοποίησης προσδιορίστηκαν σύμφωνα με τις απαιτήσεις EP17-A2 του CLSI (Ινστιτούτο Κλινικών και Εργαστηριακών Προτύπων).

Το όριο τυφλού είναι η τιμή του 95ου εκατοστημορίου που ελήφθη από  $n \geq 60$  μετρήσεις δειγμάτων χωρίς αναλυτόμενη ουσία τα οποία προέρχονταν από αρκετές αναξάρτητες σειρές. Το όριο τυφλού αντιστοιχεί στη συγκέντρωση κάτω από την οποία βρίσκονται τα δείγματα χωρίς αναλυτόμενη ουσία με πιθανότητα 95 %.

Το όριο ανίχνευσης καθορίζεται με βάση το όριο τυφλού και την τυπική απόκλιση των δειγμάτων χαμηλής συγκέντρωσης. Το όριο ανίχνευσης αντιστοιχεί στην ελάχιστη συγκέντρωση αναλυτόμενης ουσίας που μπορεί να ανίχνευθει (τιμή υψηλότερη από το όριο τυφλού με πιθανότητα 95 %).

Το όριο ποσοτικοποίησης είναι η ελάχιστη συγκέντρωση της αναλυτόμενης ουσίας που μπορεί να μετρηθεί επαναληψιμά, με CV ενδιάμεσης επαναληψιμότητας  $\leq 20\%$ .

## Αραίωση

Τα δείγματα με συγκέντρωσεις AMH υψηλότερες από το εύρος μέτρησης μπορούν να αραιωθούν αυτόματα με το Diluent Universal 2. Αραίωση του δειγμάτος μπορεί επίσης να γίνει από τον χειριστή, με το Diluent Universal 2 ή το Diluent Universal. Η συνιστώμενη αραίωση είναι 1:2 (είτε αυτόματα στους αναλυτές είτε από τον χειριστή). Η συγκέντρωση του αραιωμένου δειγμάτος πρέπει να είναι  $> 71.4$  pmol/L ( $> 10$  ng/mL).

Εάν το δείγμα αραιωθεί από τον χειριστή, το αποτέλεσμα πρέπει να πολλαπλασιαστεί με το συντελεστή αραίωσης.

Εάν το δείγμα αραιωθεί από τους αναλυτές, το λογισμικό λαμβάνει αυτόματα υπ' όψιν του την αραίωση κατά τον υπολογισμό της συγκέντρωσης του δείγματος.

## Τιμές αναφοράς

Μια μελέτη σε Καυκάσιο πληθυσμό με την ανάλυση Elecsys AMH Plus σε δείγματα από φαινομενικά υγείες ενήλικες (148 άνδρες, 887 γυναίκες που δεν έκαναν χρήση αντιουσλάππικών) και 149 γυναίκες με σύγδρομο πολυκυστικών ωοθηκών (PCOS), έδωσε τα παρακάτω αποτελέσματα (μελέτη της Roche υπ' αρ. RD001727):

|                      | N   | 2.5 <sup>o</sup><br>εκατοσ-<br>ημ.<br>ng/mL<br>(95 % CI <sup>b</sup> ) | 5 <sup>o</sup><br>εκατοσ-<br>ημ.<br>ng/mL<br>(95 % CI) | Διάμεσος<br>ng/mL<br>(95 % CI) | 95 <sup>o</sup><br>εκατοσ-<br>ημ.<br>ng/mL<br>(95 % CI) | 97.5 <sup>o</sup><br>εκατοσ-<br>ημ.<br>ng/mL<br>(95 % CI) |
|----------------------|-----|--|--|--------------------------------|---|---|
| <b>Υγείες άνδρες</b> |     |  |  |                                |   |   |
|                      | 148 | 0.77<br>(0.17-1.58)  | 1.43<br>(0.256-1.97)                                   | 4.79<br>(4.35-5.35)            | 11.6<br>(10.3-17.0)                                     | 14.5<br>(10.9-17.6)                                       |

|         | N   | 1.22<br>(0.478-1.67)   | 1.52<br>(0.758-1.81)  | 4.00<br>(3.60-4.44) | 9.95<br>(7.87-13.6) | 11.7<br>(9.11-15.7) |
|---------|-----|------------------------|-----------------------|---------------------|---------------------|---------------------|
| • 20-24 | 150 | 0.890<br>(0.493-1.21)  | 1.20<br>(0.797-1.75)  | 3.31<br>(3.00-3.89) | 9.05<br>(7.59-10.3) | 9.85<br>(8.91-11.3) |
| • 25-29 | 150 | 0.576<br>(0.256-0.958) | 0.711<br>(0.256-1.12) | 2.81<br>(2.35-3.47) | 7.59<br>(6.84-9.52) | 8.13<br>(7.27-9.72) |

|                          | N   | 2.5 <sup>o</sup><br>εκατοσ-<br>ημ.<br>ng/mL<br>(95 % CI <sup>b</sup> ) | 5 <sup>o</sup><br>εκατοσ-<br>ημ.<br>ng/mL<br>(95 % CI) | Διάμεσος<br>ng/mL<br>(95 % CI) | 95 <sup>o</sup><br>εκατοσ-<br>ημ.<br>ng/mL<br>(95 % CI) | 97.5 <sup>o</sup><br>εκατοσ-<br>ημ.<br>ng/mL<br>(95 % CI) |
|--------------------------|-----|--|--|--------------------------------|---|---|
| • 35-39                  | 138 | 0.147<br>(0.053-0.474)   | 0.405<br>(0.053-0.496)                                 | 2.00<br>(1.73-2.36)            | 6.96<br>(5.31-9.37)                                     | 7.49<br>(6.49-10.9)                                       |
| • 40-44                  | 142 | 0.027<br>(0.010-0.063)   | 0.059<br>(0.017-0.119)                                 | 0.882<br>(0.726-1.13)          | 4.44<br>(2.94-5.56)                                     | 5.47<br>(3.92-6.76)                                       |
| • 45-50                  | 169 | 0.010<br>(0.010-0.010)   | 0.010<br>(0.010-0.010)                                 | 0.194<br>(0.144-0.269)         | 1.79<br>(1.43-2.99)                                     | 2.71<br>(1.79-4.16)                                       |
| <b>Γυναίκες με PCOS*</b> |     |  |  |                                |   |   |
|                          | 149 | 1.86<br>(1.54-2.50)  | 2.41<br>(1.67-3.01)                                    | 6.81<br>(6.30-7.42)            | 17.1<br>(13.3-20.3)                                     | 18.9<br>(16.0-21.1)                                       |

b) CI = διάστημα εμπιστούνης

|                              | N   | 2.5 <sup>o</sup><br>εκατοσ-<br>ημ.<br>pmol/L<br>(95 % CI) | 5 <sup>o</sup><br>εκατοσ-<br>ημ.<br>pmol/L<br>(95 % CI) | Διάμεσος<br>pmol/L<br>(95 % CI) | 95 <sup>o</sup><br>εκατοσ-<br>ημ.<br>pmol/L<br>(95 % CI) | 97.5 <sup>o</sup><br>εκατοσ-<br>ημ.<br>pmol/L<br>(95 % CI) |
|------------------------------|-----|---|---|---------------------------------|--|--|
| <b>Υγείες άνδρες</b>         |     |   |   |                                 |  |  |
|                              | 148 | 5.5<br>(1.2-11.3)   | 10.2<br>(1.8-14.1)                                      | 34.2<br>(31.1-38.2)             | 82.8<br>(73.5-121)                                       | 103<br>(78.1-125)  |
| <b>Υγείες γυναίκες (έτη)</b> |     |   |   |                                 |  |  |
| • 20-24                      | 150 | 8.71<br>(3.41-11.9)                                       | 10.9<br>(5.41-12.9)                                     | 28.6<br>(25.7-31.7)             | 71.0<br>(56.2-97.1)                                      | 83.6<br>(65.0-112)   |
| • 25-29                      | 150 | 6.35<br>(3.52-8.64)                                       | 8.57<br>(5.69-12.5)                                     | 23.6<br>(21.4-27.8)             | 64.6<br>(54.2-73.5)                                      | 70.3<br>(63.6-81.0)  |
| • 30-34                      | 138 | 4.11<br>(1.83-6.84)                                       | 5.08<br>(1.83-8.00)                                     | 20.0<br>(16.8-24.8)             | 54.2<br>(48.8-68.0)                                      | 58.0<br>(51.9-69.4)  |
| • 35-39                      | 138 | 1.05<br>(0.378-3.38)                                      | 2.89<br>(0.378-3.54)                                    | 14.2<br>(12.4-16.9)             | 49.7<br>(37.9-66.9)                                      | 53.5<br>(46.3-77.9)  |
| • 40-44                      | 142 | 0.193<br>(0.071-0.450)                                    | 0.421<br>(0.121-0.850)                                  | 6.29<br>(5.18-8.07)             | 31.7<br>(21.0-39.7)                                      | 39.1<br>(28.0-48.3)  |
| • 45-50                      | 169 | 0.071<br>(0.071-0.071)                                    | 0.071<br>(0.071-0.071)                                  | 1.39<br>(1.03-1.92)             | 12.8<br>(10.2-21.3)                                      | 19.3<br>(12.8-29.7)  |
| <b>Γυναίκες με PCOS*</b>     |     |   |   |                                 |  |  |
|                              | 149 | 13.3<br>(11.0-17.8)                                       | 17.2<br>(11.9-21.5)                                     | 48.6<br>(45.0-53.0)             | 122<br>(95.0-145)  | 135<br>(114-151)   |

\* Σύμφωνα με τα αναθεωρημένα διαγνωστικά κριτήρια του PCOS, όπως ορίζεται από την ομόφωνη ομάδα εργαστηρίου του PCOS που επιχορηγείται από την ESHRE/ASRM του Ρότερνταμ (ESHRE = Ευρωπαϊκή Εταιρεία Ανθρώπινης Αναπαραγωγής και Εμβρυολογίας, ASRM = Αμερικανική Εταιρεία Αναπαραγωγικής Ιατρικής).<sup>25</sup>

Κάθε εργαστήριο θα πρέπει να διερευνήσει την εγκυρότητα των τιμών αναφοράς για το δικό του πληθυσμό ασθενών και, εάν απαιτείται, να καθορίσει δικό του εύρος τιμών αναφοράς.

# Elecsys AMH Plus

**cobas<sup>®</sup>**

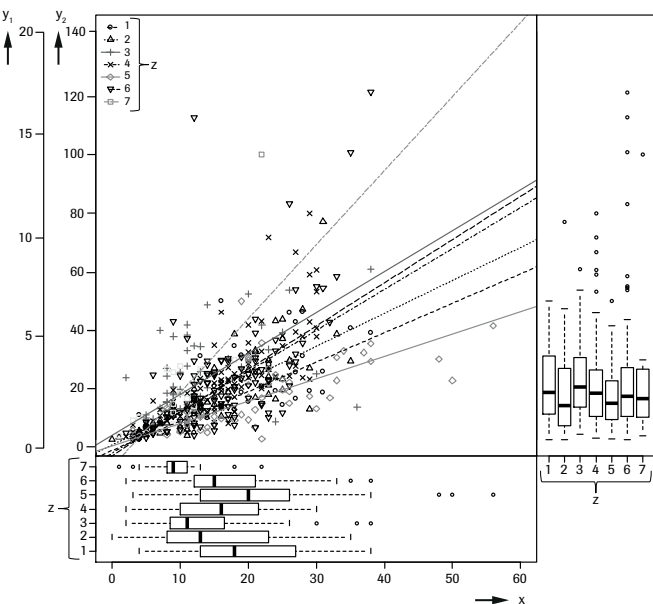
## Χρήση της AMH για την εκτίμηση του αποθέματος ωαρίων

Η χρήση της AMH για την αξιολόγηση του αποθέματος ωαρίων διερευνήθηκε σε μια προοπτική μελέτη με  $n = 451$  γυναίκες ηλικίας μεταξύ 18-44 ετών, όπου οι τιμές AMH συσχετίστηκαν με τον αριθμό ωοθυλακίων με άντρο (AFC) των γυναικών (μελέτη της Roche υπ' αρ. RD001542). Ο αριθμός AFC καθορίστηκε με διακολυτικό υπερηχογράφημα, στο οποίο μετρήθηκαν ωοθυλάκια διαμέτρου 2-10 mm. Τόσο ο αριθμός AFC όσο και η AMH καθορίστηκαν τις ημέρες 2-4 του ίδιου έμμηνου κύκλου.

Στροτολογήθηκαν 17 έως 115 γυναίκες ανά κέντρο, σε 6 διαφορετικά ευρωπαϊκά κέντρα και σε 1 αυστραλιανό κέντρο.

Δεν παραπτηρήθηκαν σημαντικές διαφορές στις μέσες τιμές AMH μεταξύ των κέντρων ( $pval = 0.301$ ). Οι μέσες τιμές ηλικίας μεταξύ των κέντρων ήταν σημαντικά διαφορετικές και, επίσης, η AMH και η ηλικία κατέδειξαν σημαντική αρνητική συσχέτιση (συντελεστής συσχέτισης Spearman -0.47). Η προσαρμοσμένη για την ηλικία επίδραση του κέντρου στην AMH δεν κατέδειξε καμιά σημαντικότητα ( $pval = 0.193$ ). Οι καθορισμένες τιμές AFC κατέδειξαν σημαντικές διαφορές μεταξύ των κέντρων, με και χωρίς προσαρμογή ηλικίας. Η συνολική συσχέτιση της AMH με τον AFC ήταν 0.68 (συντελεστής κατάταξης Spearman).

Το παρακάτω σχήμα εμφανίζει το διάγραμμα διασποράς της AMH έναντι του AFC, καθώς επίσης και τις κατανομές AMH και AFC που είναι ειδικές για το κέντρο.



x: AFC (N)

y<sub>1</sub>: AMH (ng/mL)

y<sub>2</sub>: AMH (pmol/L)

z: Κέντρο

## Πίνακας συμφωνίας στους απόλυτους αριθμούς AFC 7 και 15

Καθορίστηκαν τρεις ομάδες AFC<sup>26,27</sup> με βάση δύο cutoff για τον AFC: 7 και 15 (0-7, 8-15, > 15). Σύμφωνα με τους επιπολασμούς εντός αυτών των ομάδων (15 %, 37 %, 48 %), υπολογίστηκαν τα τεταρτημόρια στην AMH ( $c_1 = 4.86 \text{ pmol/L}$  ή  $0.681 \text{ ng/mL}$ ,  $c_2 = 16.2 \text{ pmol/L}$  ή  $2.27 \text{ ng/mL}$ ) για τον καθορισμό τριών ομάδων. Παρουσιάζεται συμφωνία σε απόλυτους αριθμούς και σε ποσοστά ανά ομάδα της AMH.

Δεδομένης της μεγάλης μεταβλητότητας των αποτελεσμάτων του AFC αναλόγα με τις διακυμάνσεις που είναι ειδικές για το κέντρο και τον υπερηχογραφιστή, κάθε κέντρο θα πρέπει να ελέγχει τον πίνακα συμφωνίας ως προς την εγκυρότητα στις δικές του ειδικές συνθήκες.

|                                    | AFC 0-7        | AFC 8-15       | AFC > 15     | N  |
|------------------------------------|----------------|----------------|--------------|----|
| AMH ≤ 4.86 pmol/L<br>(0.681 ng/mL) | 43<br>(63.2 %) | 22<br>(32.4 %) | 3<br>(4.4 %) | 68 |

|   | AFC 0-7        | AFC 8-15       | AFC > 15        | N   |
|---|----------------|----------------|-----------------|-----|
| 4.86 pmol/L<br>(0.681 ng/mL) < AMH<br>≤ 16.2 pmol/L<br>(2.27 ng/mL) | 20<br>(12.0 %) | 95<br>(56.9 %) | 52<br>(31.1 %)  | 167 |
| AMH > 16.2 pmol/L<br>(2.27 ng/mL)                                   | 3<br>(1.4 %)   | 52<br>(24.1 %) | 161<br>(74.5 %) | 216 |
| N   | 66             | 169            | 216             | 451 |

Για μια ομάδη με  $\text{AMH} \leq 4.86 \text{ pmol/L}$  ( $0.681 \text{ ng/mL}$ ), η πιθανότητα να έχει χαμηλή τιμή AFC (0-7) είναι 63 %, η πιθανότητα να ανήκει στην ομάδα με τις ενδιάμεσες τιμές AFC (8-15) είναι περίπου 32 % και η πιθανότητα να έχει AFC > 15 είναι μόνο 4.4 %.

Η πιθανότητα για ασθενείς με υψηλές τιμές AMH (> 16.2 pmol/L, 2.27 ng/mL) να έχουν AFC > 15 είναι 75 %, η πιθανότητα να ανήκουν στην ομάδα με τις ενδιάμεσες τιμές AFC (8-15) είναι 24 % και η πιθανότητα να έχουν AFC < 8 είναι μόνο 1.4 %.

## Χρήση της AMH για την πρόβλεψη της υπερανταπόκρισης σε ελεγχόμενη διέγερση των ωοθηκών

Τα παρακάτω αποτελέσματα λήφθηκαν σε μια εξωτερική μελέτη «Κλινική αξιολόγηση της ανάλυσης Elecsys AMH για την πρόβλεψη της ανταπόκρισης σε ελεγχόμενη διέγερση των ωοθηκών» (μελέτη της Roche υπ' αρ. CIM RD 001695).

Η AMH προσδιορίστηκε σε 149 γυναίκες που ακολουθούσαν πρωτόκολλο θεραπείας με ανταγωνιστές κατά τον πρώτο κύκλο της ελεγχόμενης διέγερσης των ωοθηκών για τεχνητή γονιμοποίηση (IVF). Οι γυναίκες που συμπεριλήφθηκαν στη μελέτη ήταν ηλικίας < 44 ετών, είχαν τακτικό εμμηνορροιακό κύκλο και δεν παρουσιάζαν μείζονες ανωμαλίες στο διακολυτικό υπερηχογράφημα. Δεν συμπεριλήφθηκαν γυναίκες με PCOS, ενδοκρινικές ή μεταβολικές ανωμαλίες, ούτε γυναίκες που υποβάλλονταν σε IVF με δωρεά ωοκυττάρων. Όλες οι γυναίκες έλαβαν τυπική δόση διέγερσης με FSH ιον με 150 IU/ημέρα. Η αιμολιψία πραγματοποιήθηκε πριν από την έναρξη της διέγερσης με FSH για post hoc ανάλυση της AMH μετά την ολοκλήρωση του κύκλου θεραπείας. Υπερανταπόκριση παραπτηρήθηκε σε 16 γυναίκες. Ως υπερανταπόκριση ορίστηκε η ανάκτηση > 15 ωοκυττάρων ή η ακύρωση κύκλου διέγερσης στον οποίο παραπτηρήθηκαν περισσότερα από 20 ωοθυλάκια > 12 mm και τιμές οιστραδιόλης > 11700 pmol/L, ή όταν παραπτηρήθηκαν περισσότερα από 30 ωοθυλάκια > 12 mm. Η κλινική απόδοση της Elecsys AMH να προβλέπει την υπερανταπόκριση σε ελεγχόμενη διέγερση των ωοθηκών αξιολογήθηκε μέσω ανάλυσης ROC (receiver operating characteristic) και με την εφαρμογή τιμής cutoff 15 pmol/L (2.1 ng/mL) που είχε δημοσιευτεί παλαιότερα.<sup>28,29</sup> Η πρόβλεψη της υπερανταπόκρισης ήταν σημαντική με AUC (εμβαδόν κάτω από την καμπύλη) ισο με 82.1 % (CI 72.5-91.7 %). Η ευαισθησία, η ειδικότητα, η θετική προγνωστική αξία (PPV) και η αρνητική προγνωστική αξία (NPV) για την cutoff της AMH ισο με 15.0 pmol/L (2.1 ng/mL) παρουσιάζονται στον παρακάτω πίνακα.

## Υπερανταπόκριση

|                     |                          |
|---------------------|--------------------------|
| Tιμή cutoff της AMH | 15.0 pmol/L (2.10 ng/mL) |
| Eπιτίμηση           | 95 % CI                  |
| Ευαισθησία          | 81.3 %                   |
| Ειδικότητα          | 64.7 %                   |
| PPV                 | 21.7 %                   |
| NPV                 | 96.6 %                   |

## Χρήση της AMH για τον προσδιορισμό της εξατομικευμένης ημερήσιας δόσης της θυλακιοτροπίνης δέλτα της Ferring

Η θυλακιοτροπίνη δέλτα παράγεται σε μια κυτταρική σειρά ανθρώπου (PER.C6<sup>®</sup>) με τεχνολογία ανασυνδυασμένου DNA.<sup>29,30,31</sup> Η Ferring είναι ο κάτοχος της άδειας κυκλοφορίας της θυλακιοτροπίνης δέλτα.

Η συγκέντρωση της AMH (σε pmol/L) που προσδιορίστηκε με την ανάλυση Elecsys AMH Plus σε συνδυασμό με το σωματικό βόρος επικυρώθηκε για τον προσδιορισμό της εξατομικευμένης ημερήσιας δόσης της θυλακιοτροπίνης δέλτα της Ferring. Η θυλακιοτροπίνη δέλτα σε ελεγχόμενη διέγερση των ωοθηκών για την ανάπτυξη πολλαπλών θυλακίων σε γυναίκες που υποβάλλονται σε πρόγραμμα τεχνολογίας υποβοηθούμενης αναπαραγωγής, όπως σε κύκλο IVF ή ενδοκυττοπλασμικής έγχυσης σπερμάτων (ICSI). Η ανάλυση Elecsys AMH Plus αξιολογήθηκε αποκλειστικά για τον προσδιορισμό της

# Elecys AMH Plus

εξατομικευμένης δόσης της θυλακιοτροπίνης δέλτα (Ferring). Το εξατομικευμένο δοσολογικό σχήμα της θυλακιοτροπίνης δέλτα με βάση την AMH επικυρώθηκε στην προοπτική κλινική μελέτη φάσης III ESTHER-1, μια τυχαιοποιημένη, ελεγχόμενη, με εφαρμογή τυφλού για τον αξιολογητή, παράλληλον ομάδων, πολυκεντρική, πολυεθνική δοκιμή που σύγκρινε την αποτελεσματικότητα και την ασφάλεια της θυλακιοτροπίνης δέλτα με αυτές της θυλακιοτροπίνης άλφα (τυχαιοποιηση σε αναλογία 1:1). Γυναίκες ηλικίας 18-40 ετών που υποβάλλονταν σε ελεγχόμενη διέγερση των ωθηκών για IVF ή ICSI εγγράφηκαν και ακολούθησαν ένα πρωτόκολλο ανταγωνιστή GnRH.<sup>32</sup> Σε αυτήν τη δοκιμή, 665 ασθενείς που υποβάλλονταν σε IVF/ICSI και τυχαιοποιήθηκαν στην ομάδα της θυλακιοτροπίνης δέλτα, έλαβαν θεραπεία με εξατομικευμένη δόση της θυλακιοτροπίνης δέλτα, η οποία προσδιορίστηκε με βάση το σωματικό τους βάρος και τη συγκέντρωση της AMH (σε pmol/L) όπως μετρήθηκε με την ανάλυση Elecsys AMH Plus. Η εξατομικευμένη ημερήσια δόση της θυλακιοτροπίνης δέλτα διατρέθηκε σε όλη τη διάρκεια της διέγερσης χωρίς προσαρμογές της δόσης.

**Σημαντικές πληροφορίες:** Οι κλινικοί ιατροί που θέλουν να χορηγήσουν θυλακιοτροπίνη δέλτα, πρέπει να διαβάσουν και να κατανοήσουν τις τρέχουσες πληροφορίες συνταγογράφουσης της θυλακιοτροπίνης δέλτα (Ferring) που ισχύουν στη χώρα τους πριν από τη χορήγηση του φαρμάκου. Αυτό το έγγραφο παρέχει τις λεπτομέρειες σχετικά με το τρέχον δοσολογικό σχήμα, την κλινική αποτελεσματικότητα και την ασφάλεια του φαρμάκου.<sup>33</sup>

## Ειδικά στοιχεία απόδοσης

Παρακάτω δίνονται αντιπροσωπευτικά στοιχεία απόδοσης για τους αναλυτές. Τα αποτελέσματα που λαμβάνονται στα διάφορα εργαστήρια ενδέχεται να διαφέρουν.

## Επαναληψιμότητα

Η επαναληψιμότητα προσδιορίστηκε με χρήση αντιδραστηρίων Elecsys, δειγμάτων και προτύπων ελέγχου, σύμφωνα με ένα πρωτόκολλο (EP05-A3) του CLSI (Ινστιτούτο Κλινικών και Εργαστηριακών Προτύπων): 2 σειρές αναλύσεων την ημέρα εις διπλούν η κάθε μία επί 21 ημέρες (n = 84). Ελήφθησαν τα παρακάτω αποτελέσματα:

| Αναλυτής cobas e 411    |                     |                             |      |          |      |
|-------------------------|---------------------|-----------------------------|------|----------|------|
|                         | Αναπαραγωγή- μότητα | Ενδιάμεση επαναληψι- μότητα |      |          |      |
| Δείγμα                  | Μέση τιμή ng/mL     | SD ng/mL                    | CV % | SD ng/mL | CV % |
| Ορός ανθρώπου 1         | 0.046               | 0.0008                      | 1.7  | 0.002    | 3.6  |
| Ορός ανθρώπου 2         | 0.807               | 0.010                       | 1.3  | 0.028    | 3.5  |
| Ορός ανθρώπου 3         | 4.32                | 0.076                       | 1.8  | 0.158    | 3.7  |
| Ορός ανθρώπου 4         | 12.5                | 0.148                       | 1.2  | 0.419    | 3.4  |
| Ορός ανθρώπου 5         | 20.1                | 0.295                       | 1.5  | 0.738    | 3.7  |
| PreciControl AMH Plus 1 | 0.964               | 0.011                       | 1.1  | 0.024    | 2.5  |
| PreciControl AMH Plus 2 | 4.86                | 0.060                       | 1.2  | 0.141    | 2.9  |

| Αναλυτής cobas e 601 και cobas e 602 |                     |                             |      |          |      |
|--------------------------------------|---------------------|-----------------------------|------|----------|------|
|                                      | Αναπαραγωγή- μότητα | Ενδιάμεση επαναληψι- μότητα |      |          |      |
| Δείγμα                               | Μέση τιμή ng/mL     | SD ng/mL                    | CV % | SD ng/mL | CV % |
| Ορός ανθρώπου 1                      | 0.048               | 0.0007                      | 1.5  | 0.002    | 3.2  |
| Ορός ανθρώπου 2                      | 0.816               | 0.011                       | 1.3  | 0.027    | 3.4  |
| Ορός ανθρώπου 3                      | 4.24                | 0.047                       | 1.1  | 0.164    | 3.9  |
| Ορός ανθρώπου 4                      | 12.8                | 0.221                       | 1.7  | 0.477    | 3.7  |
| Ορός ανθρώπου 5                      | 20.8                | 0.531                       | 2.6  | 0.725    | 3.5  |
| PreciControl AMH Plus 1              | 0.957               | 0.009                       | 1.0  | 0.023    | 2.5  |

| Αναλυτής cobas e 601 και cobas e 602 |                     |                             |      |          |      |
|--------------------------------------|---------------------|-----------------------------|------|----------|------|
|                                      | Αναπαραγωγή- μότητα | Ενδιάμεση επαναληψι- μότητα |      |          |      |
| Δείγμα                               | Μέση τιμή ng/mL     | SD ng/mL                    | CV % | SD ng/mL | CV % |
| PreciControl AMH Plus 2              | 4.82                | 0.052                       | 1.1  | 0.123    | 2.5  |

| Αναλυτής cobas e 411    |                     |                             |      |           |      |
|-------------------------|---------------------|-----------------------------|------|-----------|------|
|                         | Αναπαραγωγή- μότητα | Ενδιάμεση επαναληψι- μότητα |      |           |      |
| Δείγμα                  | Μέση τιμή pmol/L    | SD pmol/L                   | CV % | SD pmol/L | CV % |
| Ορός ανθρώπου 1         | 0.330               | 0.006                       | 1.7  | 0.012     | 3.6  |
| Ορός ανθρώπου 2         | 5.76                | 0.074                       | 1.3  | 0.203     | 3.5  |
| Ορός ανθρώπου 3         | 30.9                | 0.546                       | 1.8  | 1.13      | 3.7  |
| Ορός ανθρώπου 4         | 89.1                | 1.06                        | 1.2  | 2.99      | 3.4  |
| Ορός ανθρώπου 5         | 143                 | 2.11                        | 1.5  | 5.27      | 3.7  |
| PreciControl AMH Plus 1 | 6.88                | 0.076                       | 1.1  | 0.173     | 2.5  |
| PreciControl AMH Plus 2 | 34.7                | 0.427                       | 1.2  | 1.01      | 2.9  |

| Αναλυτής cobas e 601 και cobas e 602 |                     |                             |      |           |      |
|--------------------------------------|---------------------|-----------------------------|------|-----------|------|
|                                      | Αναπαραγωγή- μότητα | Ενδιάμεση επαναληψι- μότητα |      |           |      |
| Δείγμα                               | Μέση τιμή pmol/L    | SD pmol/L                   | CV % | SD pmol/L | CV % |
| Ορός ανθρώπου 1                      | 0.345               | 0.005                       | 1.5  | 0.011     | 3.2  |
| Ορός ανθρώπου 2                      | 5.83                | 0.078                       | 1.3  | 0.196     | 3.4  |
| Ορός ανθρώπου 3                      | 30.3                | 0.338                       | 1.1  | 1.17      | 3.9  |
| Ορός ανθρώπου 4                      | 91.1                | 1.58                        | 1.7  | 3.41      | 3.7  |
| Ορός ανθρώπου 5                      | 148                 | 3.79                        | 2.6  | 5.18      | 3.5  |
| PreciControl AMH Plus 1              | 6.83                | 0.065                       | 1.0  | 0.168     | 2.5  |
| PreciControl AMH Plus 2              | 34.4                | 0.372                       | 1.1  | 0.877     | 2.5  |

## Σύγκριση μεθόδου

α) Μετά από σύγκριση της ανάλυσης Elecsys AMH Plus, [REF 08818061190](#) (αναλυτής cobas e 601, y) με την ανάλυση Elecsys AMH Plus, [REF 07957190190](#) (αναλυτής cobas e 601, x), υπολογίστηκαν οι παρακάτω συσχετίσεις (ng/mL):  
Αριθμός μετρηθέντων δειγμάτων: 198

$$\text{Passing/Bablok}^{34}$$

$$y = 0.974x - 0.031$$

$$r = 0.986$$

$$\text{Γραμμική παλινδρόμηση}$$

$$y = 0.974x - 0.020$$

$$r = 0.999$$

Οι συγκεντρώσεις των δειγμάτων κυμαίνονταν μεταξύ 0.132 και 22.7 ng/mL.

β) Μετά από σύγκριση της ανάλυσης Elecsys AMH Plus, [REF 08818061190](#) (αναλυτής cobas e 601, y) με την ανάλυση Elecsys AMH Plus, [REF 07957190190](#) (αναλυτής cobas e 601, x), υπολογίστηκαν οι παρακάτω συσχετίσεις (pmol/L):  
Αριθμός μετρηθέντων δειγμάτων: 198

Passing/Bablok<sup>34</sup>

$$y = 0.974x - 0.224$$

$$r = 0.986$$

Οι συγκεντρώσεις των δειγμάτων κυμαίνονταν μεταξύ 0.941 και 162 pmol/L.

**Αναλυτική ειδικότητα**

Τα χρησιμοποιούμενα μονοκλωνικά αντισώματα εμφανίζουν υψηλό βαθμό ειδικότητας έναντι της ανθρώπινης AMH. Βρέθηκαν οι παρακάτω διασταύρουμενες αντιδράσεις:

| Ουσία διασταύρουμενης αντιδράσης | Συγκέντρωση που ελέγχηται | Διασταύρουμενη αντιδράση % |
|----------------------------------|---------------------------|----------------------------|
| Αναστατινή A                     | 100 ng/mL                 | μ. α. <sup>c)</sup>        |
| Ακτιβινή A                       | 100 ng/mL                 | μ. α.                      |
| LH                               | 500 mIU/mL                | μ. α.                      |
| FSH                              | 500 mIU/mL                | μ. α.                      |

c) μ. α. = μη ανιχνεύσιμη

**Βιβλιογραφία**

- Wilson CA, di Clemente N, Ehrenfels C, et al. Mullerian inhibiting substance requires its N-terminal domain for maintenance of biological activity, a novel finding within the transforming growth factor-beta superfamily. *Mol Endocrinol* 1993;7(2):247-257.
- di Clemente N, Jamin SP, Lugovskoy A, et al. Processing of anti-mullerian hormone regulates receptor activation by a mechanism distinct from TGF-beta. *Mol Endocrinol* 2010;24(11):2193-206.
- Grinspon RP, Rey RA. Anti-müllerian hormone and sertoli cell function in paediatric male hypogonadism. *Horm Res Paediatr* 2010;73(2):81-92.
- Broekmans FJ, Visser JA, Laven JS, et al. Anti-Müllerian hormone and ovarian dysfunction. *Trends Endocrinol Metab* 2008;19(9):340-347.
- Visser JA, de Jong FH, Laven JS, et al. Anti-Müllerian hormone: a new marker for ovarian function. *Reproduction* 2006;131(1):1-9.
- Visser JA, Schipper I, Laven JS, et al. Anti-Müllerian hormone: an ovarian reserve marker in primary ovarian insufficiency. *Nat Rev Endocrinol* 2012;8(6):331-341.
- Kelsey TW, Anderson RA, Wright P, et al. Data-driven assessment of the human ovarian reserve. *Mol Hum Reprod* 2012;18(2):79-87.
- Nelson SM, Iliodromiti S, Fleming R, et al. Reference range for the antimüllerian hormone Generation II assay: a population study of 10,984 women, with comparison to the established Diagnostics Systems Laboratory nomogram. *Fertil Steril* 2014;101(2):523-529.
- Tsepelidis S, Devreker F, Demeestere I, et al. Stable serum levels of anti-Müllerian hormone during the menstrual cycle: a prospective study in normo-ovulatory women. *Hum Reprod* 2007;22:1837-1840.
- van Disseldorp J, Lambalk CB, Kwee J, et al. Comparison of inter- and intra-cycle variability of anti-Müllerian hormone and antral follicle counts. *Hum Reprod* 2010;25(1):221-227.
- Overbeek A, Broekmans FJ, Hehenkamp WJ, et al. Intra-cycle fluctuations of anti-Müllerian hormone in normal women with a regular cycle: a re-analysis. *Reprod Biomed Online* 2012;24(6):664-669.
- Kallio S, Puurunen J, Ruokonen A, et al. Antimüllerian hormone levels decrease in women using combined contraception independently of administration route. *Fertil Steril* 2013;99(5):1305-1310.
- Nelson SM. Biomarkers of ovarian response: current and future applications. *Fertil Steril* 2013;99(4):963-969.
- Anderson RA, Wallace WH. Antimüllerian hormone, the assessment of the ovarian reserve, and the reproductive outcome of the young patient with cancer. *Fertil Steril* 2013;99(6):1469-1475.
- Dewailly D, Andersen CY, Balen A, et al. The physiology and clinical utility of anti-Müllerian hormone in women. *Hum Reprod Update* 2014;20(3):370-385.
- La Marca A, Sunkara SK. Individualization of controlled ovarian stimulation in IVF using ovarian reserve markers: from theory to practice. *Hum Reprod Update* 2014;20(1):124-140.
- Josso N, Rey R, Picard JY. Testicular anti-Müllerian hormone: clinical applications in DSD. *Semin Reprod Med* 2012;30(5):364-373.
- Rey RA, Grinspon RP, Gottlieb S, et al. Male hypogonadism: an extended classification based on a developmental, endocrine physiology-based approach. *Andrology* 2013;1(1):3-16.
- La Marca A, Volpe A. The Anti-Müllerian hormone and ovarian cancer. *Hum Reprod Update* 2007;13(3):265-273.
- Geerts I, Vergote I, Neven P, et al. The role of inhibins B and antimüllerian hormone for diagnosis and follow-up of granulosa cell tumors. *Int J Gynecol Cancer* 2009;19(5):847-855.
- Dewailly D, Gronier H, Poncelet E, et al. Diagnosis of polycystic ovary syndrome (PCOS): revisiting the threshold values of follicle count on ultrasound and of the serum AMH level for the definition of polycystic ovaries. *Hum Reprod* 2011;26(11):3123-3129.
- Iliodromiti S, Kelsey TW, Anderson RA, et al. Can anti-Müllerian hormone predict the diagnosis of polycystic ovary syndrome? A systematic review and meta-analysis of extracted data. *J Clin Endocrinol Metab* 2013;98(8):3332-3340.
- Tehrani FR, Solaymani-Dodaran M, Tohidi M, et al. Modeling age at menopause using serum concentration of anti-müllerian hormone. *J Clin Endocrinol Metab* 2013;98(2):729-735.
- Dölleman M, Depmann M, Eijkemans MJ, et al. Anti-Müllerian hormone is a more accurate predictor of individual time to menopause than mother's age at menopause. *Hum Reprod* 2014;29(3):584-591.
- Rotterdam ESHRE/ASRM-Sponsored PCOS consensus workshop group. Revised 2003 consensus on diagnostic criteria and long-term health risks related to polycystic ovary syndrome (PCOS). *Hum Reprod* 2004;19(1):41-47.
- Ferraretti AP, La Marca A, Fauser BC, et al. ESHRE working group on Poor Ovarian Response Definition. ESHRE consensus on the definition of 'poor response' to ovarian stimulation for in vitro fertilization: the Bologna criteria. *Hum Reprod* 2011;26(7):1616-1624.
- van Tilborg TC, Eijkemans MJ, Laven JS, et al. The OPTIMIST study: optimisation of cost effectiveness through individualised FSH stimulation dosages for IVF treatment. A randomised controlled trial. *BMC Womens Health* 2012;12:29.
- Nelson SM, Yates RW, Fleming R. Serum anti-Müllerian hormone and FSH: prediction of live birth and extremes of response in stimulated cycles--implications for individualization of therapy. *Hum Reprod* 2007;22(9):2414-21.
- Arce JC, Andersen AN, Fernández-Sánchez M, et al. Ovarian response to recombinant human follicle-stimulating hormone: a randomized, antimüllerian hormone-stratified, dose-response trial in women undergoing in vitro fertilization/intracytoplasmic sperm injection. *Fertil Steril* 2014;102(6):1633-40.e5.
- Olsson H, Sandström R, Grundemar L. Different pharmacokinetic and pharmacodynamic properties of recombinant follicle-stimulating hormone (rFSH) derived from a human cell line compared with rFSH from a non-human cell line. *J Clin Pharmacol*. 2014;54(11):1299-307.
- Bosch E, Nyboe Andersen A, Barri P, et al. Follicular and endocrine dose responses according to anti-Müllerian hormone levels in IVF patients treated with a novel human recombinant FSH (FE 999049). *Clin Endocrinol (Oxf)*. 2015;83(6):902-12.
- ClinicalTrials.gov - Evidence-based Stimulation Trial with Human rFSH in Europe and Rest of World 1 (ESTHER-1). ClinicalTrials.gov Identifier: NCT01956110. Available at: <http://clinicaltrials.gov/ct2/show/NCT01956110?term=NCT01956110>.
- Applicable prescribing information of follitropin delta; Ferring.
- Bablok W, Passing H, Bender R, et al. A general regression procedure for method transformation. Application of linear regression procedures for method comparison studies in clinical chemistry, Part III. *J Clin Chem Clin Biochem* 1988 Nov;26(11):783-790.

Για περισσότερες πληροφορίες, ανατρέξτε στο κατάλληλο εγχειρίδιο χρήσης του συγκεκριμένου αναλυτή, στα αντίστοιχα φύλλα εφαρμογής,

# Elecys AMH Plus

**cobas**<sup>®</sup>

στις πληροφορίες προϊόντος και στα φύλλα μεθόδου όλων των απαραίτητων συστατικών (εάν είναι διαθέσιμα για τη χώρα σας). Σε αυτό το φύλλο μεθόδου χρησιμοποιείται πάντοτε μια τελεία (σπιγμή) ως υποδιαστολή, προκειμένου να σηματοδοτεί το όριο μεταξύ του ακέραιου και του κλασματικού μέρους ενός δεκαδικού αριθμού. Δεν χρησιμοποιούνται τελείες ως διαχωριστικά στις χιλιάδες.

## Σύμβολα

H Roche Diagnostics χρησιμοποιεί τα ακόλουθα σύμβολα και σήματα πάραν αυτών που παρατίθενται στο πρότυπο ISO 15223-1 (για τις Η.Π.Α.: επισκεφτείτε τη διαδικτυακή τοποθεσία [dialog.roche.com](http://dialog.roche.com) για τον ορισμό των συμβόλων που χρησιμοποιούνται):

|            |  |
|------------|--|
| CONTENT    | Περιεχόμενα του κιτ  |
| SYSTEM     | Αναλυτές στους οποίους μπορούν να χρησιμοποιηθούν τα αντιδραστήρια |
| REAGENT    | Αντιδραστήριο  |
| CALIBRATOR | Βαθμονομητής   |
| →          | Όγκος μετά την ανασύσταση ή την ανάμιξη                            |
| GTIN       | Διεθνής Κωδικός Μονάδας Εμπορίας                                   |

Οι προσθήκες, οι διαγραφές ή οι αλλοιγές υποδεικνύονται από μια λαρίδα υπόδειξης αλλαγής στο περιθώριο.  
© 2020, Roche Diagnostics



Roche Diagnostics GmbH, Sandhofer Strasse 116, D-68305 Mannheim  
[www.roche.com](http://www.roche.com)

